

九州大学応用力学研究所 正員 中村泰治

深町信雄

航空宇宙技術研究所

上村平八郎

一样流中、構造物のうす励振における最大応答 η_{max} の簡単な推定式と、2次式を提案する。

$$\eta_{max} = \frac{\bar{V}_{cr}^2 C_L}{4\pi k_0} \quad (1)$$

ただし、 \bar{V}_{cr} = 無次元共振風速、 C_L = 静止構造物に対するうす揚力係数、 $k_0 = (2m/\rho h^2)\delta_0$ = 質量 - 減衰パラメータ、提案式は在来式¹⁾と同一であるが、筆者らの知る限り、その理論的実験的検証の議論は余り見受けない。上記推定式を矩形断面柱について検討すると、比較的小振幅の範囲で（振幅比約5%以下）、かつ、 C_L を正確に見積もれば公式は妥当である。実用上有用であるとかわからぬ。

1. 風洞と模型

使用した風洞の測定部断面は高さ × 幅 = 4m × 2m。模型は深さ / 高さ = $d/h = 0.3, 0.4, 0.6, 0.8$ および 1.0 の 5 種の 2 次元木製矩形断面柱を用いた。 $h = 15\text{ cm}$ であり、 d の寸法をかえた。風路外の平行板はねと補助のトルクはねで模型を支持し、 $f_0 = 4.0\text{ Hz}$ 、 $2m/\rho h^2 = 395$ 。板状オイルダンパーを使用して系の減衰率 δ をかえた。平行板はねにストレーンゲージを貼り、これにより模型の振動変位を検出した。また、同一模型を使用し、平行板はねと厚い板はねにかえ、静止時の揚力係数 C_L の測定を行なった。

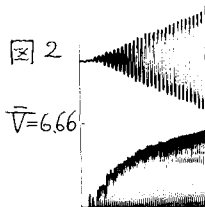
2. 強制振動とうすうす励振

うす励振は強制振動に似てなるべくとも、これが自動振動であることは今日疑う余地がない。うす振動数 f_v は風速に比例して増大するが、うす励振における振動数は物体固有振動数 f_0 に一致する。もし、強制振動であれば、 $f = f_v$ 、応答を得られる筈であるから、上記実験事実は、うす励振が自動振動であることを単純に物語るにすぎない。その他、励振が自動振動であることを示す実験事実は數多。一方、励振は共振風速附近で生ずるのみであるから、うす励振は共振特性が強く現れるのである。このことはつきの考察より明らかである。1例として、 $d/h = 0.4$ の矩形断面柱を取上げる。その共振風速は $\bar{V}_{cr} = 6.94$ である。図1、図2にうす励振の応答波形を示す。系の減衰は小さく、 $k_0 = 2.57$ である。図1は $\bar{V} = 5.13$ の応答例である。原波形とそれを対数変換した波形を示す。発散は明らかに e^{kt} 型（ $k = \text{一定}$ ）である。事柄が線型であり、励振が負減衰空気力による自動振動であることを示すもの。他方、風速が共振風速に倍して改めた図2を見ると、波形は明らかに e^{kt} 型である。一見、振動は非線型、ようであるが実はそうではない。むしろ、発散は過渡線型発散を暗示しており、 $t \sin \omega t$ 型の発散である。事実、図2に示す発散波形は理論的に予想される $\eta(t) = \frac{1}{4\pi} \bar{V}_{cr}^2 (\rho h^2/m) \times C_L f_0 t \sin 2\pi f_0 t$ によく適合する。以上の理由で、構造物の運動方程式において、 $\bar{V} = \bar{V}_{cr}$ 、 $f = f_0$ 、 $C_L(t) = C_L \sin 2\pi f_0 t$ 、 $y = y_0 \sin(2\pi f_0 t + \phi)$ 、 $\phi = 90^\circ$ とおいて励振振幅 $\eta = \theta/h$ を求めると、(1)式を得る。

図1

 $\bar{V}=5.13$

図2

 $\bar{V}=6.66$

さて、一般にうす励振の応答をみると(図3)、1) 励振は共振風速附近で生ずるが、最大振幅 η_{max} は共振風速以外の風速(普通 \bar{V}_{cr} より大)で生ずる。2) しかし、系の減衰係数 k_0 を増すと、 η_{max} は減少し、 η_{max} が生ずる風速は \bar{V}_{cr} に近づく。これが今日知らざるところ。よって、充分大きな k_0 の時は、最大振幅を推定する式を利用することが考えられるのである。

3. 推定式の検証

図4a～図4eは最大振幅 η_{max} の実測結果と(1)式による推定を示す。小振幅における推定値と実測値は一致する。振幅が大きくなるれば、自動振動と(2)の特性が応答に反映するので、(1)式は当然適用土木得矣。

比較的厚い断面柱 $d/h = 0.8$ および 1.0 では、振幅が大きくなると推定値の方が実測値より大きい。さらに深さを増すと再び薄型に近づくと、うす励振の応答はきわめて特異なものにならぶ。²⁾ 上記結果はこの特異性と無縁ではない。以上の考察より、推定振幅 5% 以下であれば、(1)式は充分有用になると見える。

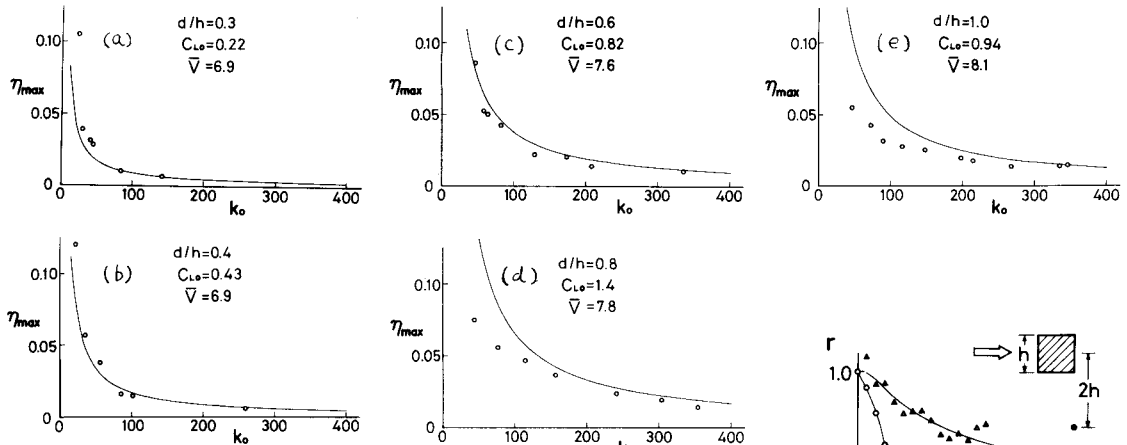


図4a～図4e

4. 静止時うす揚力係数 C_L 。

(1)式を適用するにあたり注意すべきことは C_L の推定である。一般に、2次元物体よりも、うすの放物はスペーク方向に同時に生じ得ない。ここのことは早く

Vickery³⁾ の測定を示すようにあり、2) 円柱のみならず、はく離実験

固定した矩形断面柱でも同様であることは注目に値する。図5は熱線流速計による速度変動・空気相関係数との測定結果である。スペーク方向、距離 z/h が増すにつれて、相関は高めに悪化する。この結果、静止時うす揚力係数は、2次元物体よりも縦横比が低く、縦横比が増すと C_L が単調に減少する。その実測結果によれば紙面、都合上、省略する。

5. 結論

うす励振の最大振幅は、小振幅の肉厚を除く、薄型共振と比較的精度よく推定できる。ただし、縦横比を考慮した静止時うす揚力係数 C_L の正確な推定が重要である。

文献

1) 伊藤、岡内、宮田；耐風構造、P. 259

2) Nakamura, Y. & Mizota, T.; J. EM, ASCE, Vol. 101, No. EM6, 1975, pp. 855-871.

3) 文献1), P. 158

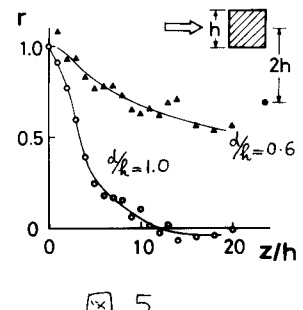


図5